

4. Symmetrien und Erhaltungssätze

Symmetrie \leftrightarrow Erhaltungssatz
 verknüpft durch "Noether's Theorem" (Emmy Noether)
 Wenn immer es in einem physikalischen System eine zugrundeliegende Symmetrie gibt, kann man eine erhaltene physikalische Größe oder eine ("ladungs"-) Quantenzahl definieren

Beispiele aus der klassischen Physik:

Impulsinvarianz unter Translation \leftrightarrow Impulserhaltung
 Rotationsinvarianz \leftrightarrow Drehimpulserhaltung

Quantenmechanik: Symmetrioperatoren
 sind unitäre Transformationen $U\psi(\vec{r}, t) = \psi'(\vec{r}, t)$
 mit $UU^\dagger = 1$ (hierbei ist die konjugierte U^\dagger gleich U')

3 Typen von Transformationen:

- Kontinuierliche Transformationen: U geht kontinuierlich in Einheitsoperator über (wie Translation) \rightarrow führen zu additiven Erhaltungssätzen
- diskontinuierliche Transformationen: immer diskrete Zustände $\psi' = U\psi$, (z.B. Spins) \rightarrow führen zu multiplikativen Erhaltungssätzen

4.1. Additive Graltausätze

el. Ladungserhaltung: wurde bereits von Pauli 1941 mit der Einschränkung der elektromagnetischen WW - keine absolute Skala für Potential - verknüpft. bei vergleich unendlicher Reichweite. (Rev. Mod. Phys. 13, 203)

$$\boxed{\sum q_i = \text{konstant}}$$

exp. Tests: $e \rightarrow \nu \gamma \quad \tau > 4.6 \cdot 10^{26} \text{ y}$; neues Exp. an PSI am Beugung Detektionskamm
 β-Zerfall des Neutrons $n \rightarrow p \bar{\nu} e \bar{\nu}_e$ vgl. mit
 $n \rightarrow p e^- \bar{\nu}_e \quad \frac{\Gamma(n \rightarrow p \bar{\nu} e \bar{\nu}_e)}{\Gamma_{\text{tot}}} < 8 \cdot 10^{-27}$

Baryonenzahlserhaltung: weise jedem Teilchen analog zu elektrischer Ladung Baryonenzahl oder baryonische Ladung A zu.

Quarks haben $A = 1/3$, Antiquarks $A = -1/3$
 $A = 1$ für $p, n, \Lambda, \Delta \dots$ alle Baryone haben $A = 1$
 $A = -1$ $\bar{p}, \bar{n}, \bar{\Lambda}, \bar{\Delta} \dots$ "Anti" $A = -1$

fürde experimentell $\boxed{\sum A_i = \text{konstant}}$

Grenzwert z.B. aus Sudre nach Protzzerfall

$p \rightarrow e^+ + \pi^0 \quad \tau > 1.6 \cdot 10^{33} \text{ y}$ im Vergleich mit
 $\bar{p} \rightarrow \text{anything} \quad \tau > 2 \cdot 10^{29} \text{ y}$ Alter des Universums von 10^{10} Jahren
 aber: kein zuverlässiger theoretischer Grund für Baryonenzahlserhaltung; in einigen GUTs

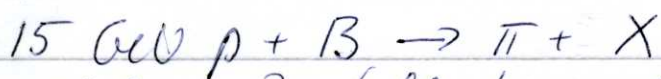
zerfällt Proton auf Tischlack $10^{29} - 10^{30}$ y
 → interior Sudet in letzten 20 Jahren

Leptonzahl erhalten: 1953 als empirische Gesetzmäßigkeit von Kauopoulos und Mahowald eingeführt um Abwesenheit bestimmter Prozesse zu erklären.
 z.B. $\gamma \rightarrow e^+ e^-$ oder $\gamma \rightarrow p\bar{p}$ im Feld eines 3. Teildurchs ab wie $\gamma \rightarrow e^+ p$ oder $\mu \rightarrow e\gamma$
 ≈ Produktion einer Leptonenzahl in jeder Generation $L_e = 1$ für e^- und ν_e etc.
 empirisch ist diese Leptonenzahl für jede Generation erhalten

$$\boxed{\sum_i L_{ei} = \text{konstant}}$$

erste Evidenz dafür

Reaktionen verschiedener: 1962 Brookhaven Nat. Lab. AGS

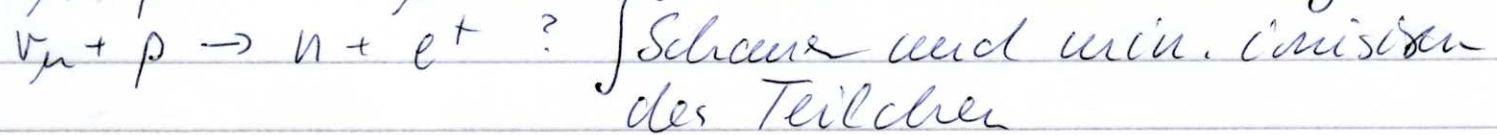
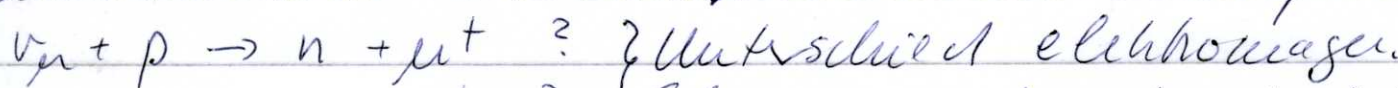


wählte Zerfallskanal $\pi \rightarrow \mu + \nu_\mu$

stoppte Myon in 13.5 m Stahl (bis 17 GeV ok)

richtete verbleibenden Stahl auf H-Target

beobachtete mit 10 t Fadenkammern was passiert



ca. 8 Minuten und 10^{14} ν auf Target!

56 Ereignisse mit μ und 0 mit e , später noch dramatisch verbessert → $\nu_e + \nu_\mu$

aber: zwischen Henninoosnillahonen beobachtet → Neutinos mischen

mögliche, wenn Neutrinos Flasche haben
(Maki et al 1962, Pontecorvo 1968): Flaschenlöcher-
Festände

und: sind identische ν und $\bar{\nu}$ wirklich
ausgeschlossen? Sache nach unzähligen
doppelten β -Zerfall

$$\begin{array}{l} {}_A^Z X \rightarrow {}_{Z+2}^{A+2} Y + 2e^- \quad \Delta E = 2 \\ \qquad \qquad \qquad n \rightarrow p + e^- + \bar{\nu}_e / \nu_e \end{array}$$

$$\bar{\nu}_e + n \rightarrow p + e^-$$

Heidelberg - Roskau Exp.: 11.5 kg ^{76}Ge in Gran
Sasso Tunnel ($\rightarrow \text{As} \rightarrow \text{Se}$) $\tau = 1.9^{+16.8}_{-0.7} \cdot 10^{25} \text{ s}$

Strangenesserhaltung: Seit Ende der 1980er
Jahre beobachtetes Puzzle: sogenannte V-Teil-
chen werden mit großer Wahrscheinlichkeit
produziert, aber zerfallen langsam

$\cancel{x} \dots \cancel{\pi^-} \cancel{\pi^+}$ oder π^+ Zerfall eines unehelichen Teil-
chen $\cancel{\pi^-}$ eines (Lambda oder K⁰) in 2
geladene Teilchen

bei einigen GeV Protonenergie ist Wahrscheinlich-
keit für $\pi^- + p \rightarrow \Lambda + K^0$ $\delta \approx 1 \text{ mb} \approx 0.18$
typisch für starke WW. Aber Zerfallstruktur
 $\Gamma_\Lambda = \frac{hc}{\sigma c} = \frac{197 \text{ GeV fm}^3}{10^{-10} \text{ s} \cdot 3 \cdot 10^{23} \text{ fm}} = 6.6 \cdot 10^{-12} \text{ GeV}$ schwache WW

Vgl. $\Gamma_\Lambda \approx 100 \text{ MeV}$ → starke WW

Park - Regel (1952): kaonen und lambdas wer-
den in starker WW produziert, aber zerfallen
schwach.

Grund: Erhaltung der Strangeness → assoziiert

Produktion, d.h. Produktion von Paaren mit $S=+1$ und $S=-1$

Strangeness 1953 von Gell-Mann und Nishijima 1953 (11 Jahre vor Quarks) erstmals von Pais-Regel zu erklären

$$\sum_i S_i = \text{Konst für starke und elektromagnet. WW}$$

$$\sum_i S_i = \text{Konst für schwache WW}$$



$$S=0 \quad 0 \quad -1 \quad +1 \quad \nu$$



$$S=-1 \quad 0 \quad 0 \quad \Delta S=1 \quad +1 \quad 0 \quad 0 \quad \Delta S=-1$$

im schwachen Fall $\Delta S = \pm 1$ möglich

Isospin erhalten: Heisenberg 1932 - Neutron und Proton sind 2 Ladungsteile eines Teilchens, des Nukleons

Zeigt 1937 durch H. Bethe - Analyse von pp und pn Streudaten zeigt nach Abzug von Coulombeffekt, daß pp und pn WW gleich in Stärke und Reichweite ist. Genauso lassen von 3H und 3He → führt zu Konzept des Isospins

Nukleon ist ein 2-Rustandsystem (Doublett) charakterisiert durch eine Quantenzahl Isospin von der es (in einem intralen Hilbertraum) 2 mögliche Orientierungen, p und n, gibt

$$I = \frac{1}{2}, I_3(p) = +\frac{1}{2}, I_3(n) = -\frac{1}{2}$$

Rotationsen im Isospinraum durch Spinnoren analog zu Paulispinnoren

2-Hyperon-System: Symmetrisierung der Wellenfunktion analog 2-Elektronensystem bezüglich Spin; sym Triplett $\frac{1}{\sqrt{2}}(\psi_{\uparrow\uparrow} + \psi_{\downarrow\downarrow})$ nn
 antisym Singlett $\frac{1}{\sqrt{2}}(\psi_{\uparrow\downarrow} - \psi_{\downarrow\uparrow})$ mit Wf $\chi^{(I, I_3)}$
 formal Triplett $\chi^{(1,1)} \quad \chi^{(1,0)} \quad \chi^{(1,-1)}$
 Singlett $\chi^{(0,0)}$

Atomkerne: 2 Protonen, N Neutronen $A = N + Z$

$$\vec{I} = \sum_{i=1}^A \vec{I}_i, \quad I_3 = \sum I_{3i}$$

$$\text{el. Ladung } Q = Ze = \sum_{i=1}^A q_i = e \sum_{i=1}^A (I_{3i} + \frac{1}{2}) = e(I_3 + \frac{1}{2}A)$$

$$\approx I_3 = Z - \frac{1}{2}A$$

$= \frac{1}{2}(Z-N)$ fest für jeden Atomkern

aber für jeden Kern gibt es A Iisospinzustände je von Länge $\frac{1}{2}$ $\approx I_{\max} = \frac{1}{2}A = \frac{1}{2}(Z+N)$ und wegen $I_3 \approx I_{\min} = \frac{1}{2}(Z-N)$

in jedem Atomkern kann es Zustände mit $\frac{1}{2}|Z-N| \leq I \leq \frac{1}{2}(Z+N)$ geben, jedem Zustand ist ein Quantenzahl I zugeordnet

Beachte die benachbarten Kerne mit gleichen A (Z oberein), unterschiedlichen I , sowie gleichen totalem Drehimpuls; I_3 natürlich unterschiedlich. Elektromagnetisch ist die WW tritt Iisospinasymmetrie der starken WW, aber nur etwas, da sie viel schwächer ist.

→ Zustände sind Iisospinzustände

Beispiel: ${}^7_3\text{Li}^4$ und ${}^7_4\text{Be}^3$ \Rightarrow Fig. 4-1

$$I_3 = \frac{1}{2}(3-4) = -\frac{1}{2}$$

$$\frac{1}{2}(4-3) = +\frac{1}{2} \quad I_{\min} = \frac{1}{2} \text{ für beide}$$

$I_{\max} = \frac{1}{2}(3+4) = \frac{7}{2}$ für beide, alle werden ja

Zustände sind $I = 1/2$

Energie differenz der Isobaren:

$$\Delta E = E(A, Z+1) - E(A, Z) = \frac{\partial E}{\partial Z} (\Delta Z = 1)$$

$$= \frac{\partial E_{Cb}}{\partial Z} - \underbrace{(m_n - m_p)}_{1.29 \text{ keV}}$$

für gleichförmig geladene Kugel $E_{Cb}(A, Z) = \frac{3}{5} \frac{(Ze)^2}{R}$

$$\frac{\partial E_{Cb}}{\partial Z} = \frac{6}{5} \frac{Ze^2}{R} = \frac{6}{5} \frac{Ze^2}{1.29 \text{ fm} \cdot A^{1/3}}$$

$$\text{für } Z=3 \text{ und } A=7 \quad \frac{\partial E_{Cb}}{\partial Z} = 2.26 \text{ keV}$$

$$\Delta E = 2.26 - 1.29 = 0.97 \text{ keV}$$

im Vergleich zu Daten: 0.86 keV →

in Kernen eine gute Symmetrie

es gibt auch Multipletts mit mehr Kernen ~~Fig 4-2~~

andere Hadronen: I_3 wird über Valenzquarks

zugeordnet, $|I_3|$ Wert liegt fest, wenn

gesamtes Multiplett beschränkt

z.B. Pion $\pi^+ = u\bar{d}$ $I_3 = 1$ | 7sospintriplett

$\pi^- = \bar{u}d$ $I_3 = -1$ | mit $I = 1$

$\pi^0 = u\bar{u} - d\bar{d}$ $I_3 = 0$

Zerfall $\pi^0 \rightarrow \gamma\gamma$ $I=1 \approx I=0$ ein WW nicht I -Symme-

Lambda $\Lambda = uds$ hat keine geladenen Partner

$I_3 = 0, I = 0$

Zerfall $\Lambda \rightarrow p + \pi^-$ über schwache WW

uds und $\bar{u}\bar{d}$

I_3	0	$1/2$	-1	$\Delta I_3 = -1/2$	schwache WW verlebt Gehalt auf 0 m I, I_3, S
I	0	$1/2$	1	$\Delta I > 1/2$	
S	-1	0	0	$\Delta S = 1$	

4.2. Multiplikative Schalteupsäte:

Parität: Symmetrie unter räumlicher Inversion
 $x, y, z \xrightarrow{P} -x, -y, -z$

diskrete Transformation $P \Psi(\vec{r}) = \Psi(-\vec{r})$

offensichtlich $P^2 = 1$, d.h. an Objektiv ± 1 möglich
 $P \Psi(\vec{r}) = \Psi(-\vec{r}) = \pi \cdot \Psi(\vec{r})$ mit $\pi = \pm 1$ + "gerade"
 -1 "ungerade"

"polare" Vektoren kehren unter P ihr Vorzeichen um (\vec{r}, \vec{p}, \dots)
oder wie \vec{L} sind invariant

$$PL_x = (-y)(-\rho_z) - (-z)(-\rho_y) = L_x \text{ etc. "axiale Vektoren"}$$

Skalarprodukte von Vektoren: polar · polar oder axial · axial
"echte Skalare" = invariant unter P

polar · axial (z.B. $\vec{p} \cdot \vec{L}$) ändern ihr Vorzeichen
unter Paritätstransformation "Pseudoskalare"

Transformation des räumlichen Anteils der Wellenfunktion
wenn in Kugelkoordinaten ausgedrückt

$$\Psi(\vec{r}) = R(r) \sum Y_{lm}(\vartheta, \varphi) \text{ mit } Y_{lm}(\vartheta, \varphi) = P_l^m(\cos \vartheta) \exp(i m \varphi)$$

$$P(r, \vartheta, \varphi) = (r, \pi - \vartheta, \varphi + \pi)$$

$$P \exp(im\varphi) = \exp(im(\varphi + \pi)) = (-1)^m \exp(im\varphi)$$

$$P P_l^m(\cos \vartheta) = P_l^m(\cos(\pi - \vartheta)) = (-1)^{l+m} P_l^m(\cos \vartheta)$$

$$\Rightarrow P Y_{lm}(\vartheta, \varphi) = (-1)^{l+m} Y_{lm} = (-1)^l Y_{lm}$$

Parität ist multiplikative Quantenzahl \hookrightarrow d.h.
bei Paritätsbeibehaltung ist Produkt der Paritäten
aller involvierten Teilchen und ihr Relativbewegung
erhalten

z.B. 2 Teilchensystem $\Psi = \Psi_\alpha(\vec{r}_\alpha) \Psi_\beta(\vec{r}_\beta) \phi(\vec{r}_\alpha - \vec{r}_\beta)$

$$P\Psi = \pi_\alpha \pi_\beta \Psi_\alpha \Psi_\beta P\phi = \pi_\alpha \pi_\beta (-1)^l \Psi \text{ wenn}$$

Durch Kugelfunktionen beschrieben werden können

Messungen zeigen: a) starke und ein WW erhalten Parität

Beispiel: (auengr.) Zustände in Kernen können nach Parität klassifiziert werden \rightarrow sache nach "verbotenen" Zerfall

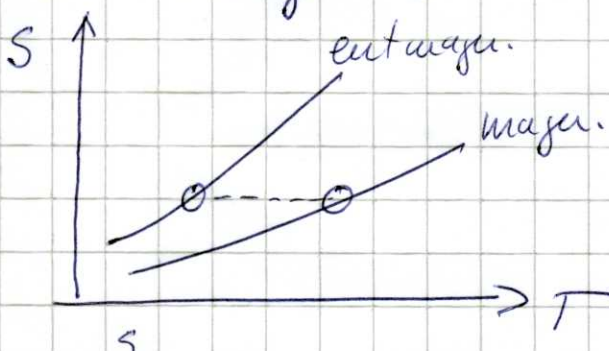
Sache nach α -Zerfall eines auengrenzen Zustands in ^{16}O mit $E^* = 8.87 \text{ keV}$ und $J^\pi = 2^-$

$^{16}\text{O}^* \rightarrow ^{12}\text{C} + \alpha$ wenn Zerfall in Grundzustand $\pi^- - 1 \quad +1 \quad +1 \quad 0^+$ von ^{12}C ; dann muss $(-1)^l$ wogahr sei, ab da $SJ=2 \rightarrow l=2$
d.h. Zerfall nur möglich, wenn Kerenzustände in entweder $^{16}\text{O}^*$ oder ^{12}C Beimischung dr. eit gege-
setzten Parität haben

Erwarte f. erlaubten α -Zerfall $\Gamma_\alpha = 60 \text{ keV}$, muss
 $\Gamma_\alpha < 2 \cdot 10^{-8} \text{ eV} \sim$ Reduktion um Fakt 3 $\cdot 10^{-12}$
 \sim Grun f. mögliche Paritäts bei mischung in
 $^{16}\text{O}^* \cdot 10^{-6}$ in dr Wellenfunktion

b) Paritätsverletzung in dr schwachen WW: 1956 Analyse von T.D. Lee und C.N. Yang \rightarrow keine Evidenz f. Paritäts-
erhaltung in schwacher WW (Phys. Rev. 104 (1956) 254)
Vorschlag eines Experimentals, Test, der dr. geführt
von Fran Wu & Ritter $\Rightarrow \beta$ -Zerfall von polarisierten
 $^{60}\text{Co} \rightarrow ^{60}\text{Ni} + e^- + \bar{\nu}_e$ Konservierung polarisation in
Co-Salz durch starker B-Feld bei sehr niedriger
Temperatur Bedingung $\mu_N B \gg kT$ für $s=1$ und $g=1$
 $\sim \Gamma_S = 1 \text{ Nisar } \mu_N = 3.15 \cdot 10^{-14} \text{ keV/T} \sim kT \ll 3.15 \cdot 10^{-13} \text{ keV}$
 für $B=10\text{T}$ d.h. $T \ll \frac{3.15}{8.6} \cdot 10^{-2} \text{ K}$

Kühlung durch adiabatische Entwirbelung
von CeR_8HfO_3



dann Pressung von Elektronen mit Spin \uparrow zu Kernspin im Vergleich zu Elektronen mit Spin auf parallel zu Kernspin (Unterkoh B-Feld)

$$\checkmark \langle \cos \theta \rangle = \left\langle \frac{\vec{s} \cdot \vec{v}}{|\vec{s}| |\vec{v}|} \right\rangle = \langle \psi | \frac{\vec{s} \cdot \vec{v}}{|\vec{s}| |\vec{v}|} | \psi \rangle < 0$$

Elektron mäzenurklich ermittelt die Richtung entgegenfiekt zu Spin, d.h. Gravitationskraft eines Pseudoskalars $(\vec{s} \cdot \vec{v}) \neq 0$
≈ d.h. Paritätsverletzung

Fig 4-34

[Eisberg 4-10a]

Ladungskonjugation: Symmetrieoperationen der Ladungskonjugation kehren Vorzeichen aller Ladungsgquanten nicht um.

Es sei $|N\rangle = |A, Q, S, L_e, \dots\rangle$, dann ergibt $C|N\rangle = |-N\rangle$; wie für Parität $C^2 = 1$ für mögliche Gegenstände gilt $C^4 = \eta_c \cdot \psi$ auf mögl. Eigenwerten $\eta_c = \pm 1$

allerdings sind die meisten Teilchen nicht Gegenstände von C

z.B. $C|\pi^-\rangle = |\pi^+\rangle \neq \pm |\pi^-\rangle$

aber völlig unehalt Teilchen können Gegenstände von C sein

Photon, hat $\eta_c = -1$ da E-Feld ein bewegtes Ladung unter C seine Vorzeichen wechselt n-Photon Zustände haben $\eta_c = (-1)^n$

π^0 : Zerfall in 2γ $C|\pi^0\rangle = +|\pi^0\rangle$

Zerfall in 3γ würde C verletzen; fände $\frac{1}{|\pi^0 \rightarrow 3\gamma\rangle} < 3 \cdot 10^{-8}$

Paritätszuordnung für Teilchen:

- (3 Zuordnungen per Definition $\pi_p = \pi_n = \pi_\lambda \equiv +$)
- 1 pro additive Quantenzahl (Q, A, S)

Rest aus erlaubten Reaktionen zu fällen

Antiproton $\pi_p = -1$

Pion: $\pi_{\pi^-} = \pi_{\pi^0} = \pi_{\pi^+} = -1$

Fermion-Antifermion: eine gegenseitige Parität

Boson-Antiboson: gleiche Parität

alle Glashowonen haben $\pi = -1$ (γ, g, W^\pm)

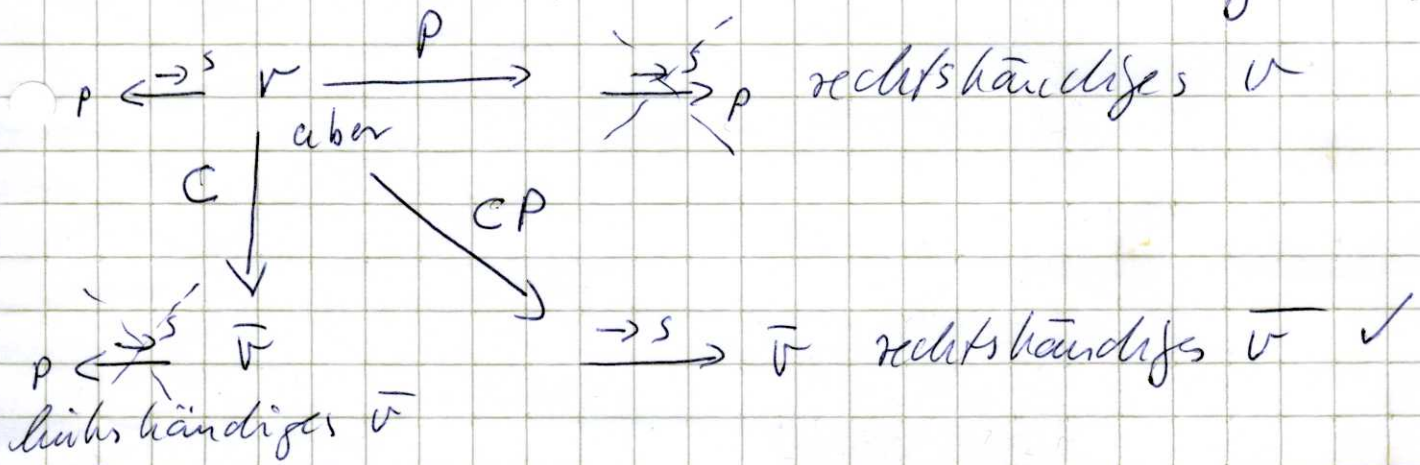
Atomkerne: gegeben durch L

Starke und ein WW sind invariant unter C
 z.B. Reaktion $p + \bar{p} \rightarrow \pi^+ \pi^- \pi^0$
 Winkelverteilung von π^+ und π^- und Energie-
 spektren sind identisch

aber: schwache WW verletzt C-Invarianz

fürde experimentell Neutrinos aus β -Zerfall sind
 immer links händig, d.h. $\xleftarrow[s]{\rightarrow} p$

und Antineutrinos sind rechts händig $\rightarrow[s]{\rightarrow} p$



Händigkeit der Neutrinos im β -Zerfall erklärt
 Verletzung der Parität und die Ladungskon-
 jugationssymmetrie.